

数学实验课程第一次实验报告

PB21010479 王曹励文

2023 年 9 月 12 日

1 牛顿迭代法求解零点

1.1 题目

设

$$f_n(x) = x - \frac{x^3}{3!} + \frac{x^5}{5!} - \dots + (-1)^n \frac{x^{2n+1}}{(2n+1)!},$$

对 $n = 3, 4, 5, 6, 7$, 依次实现牛顿切线法求出 $f_n(x)$ 在 $x = 3$ 附近的零点. 并观察随着 n 的增加, 所求出的零点的变化趋势, 并对此做出解释.

1.2 解答

本题利用牛顿迭代法求解零点. 当使用牛顿迭代法来寻找方程 $f(x) = 0$ 的根时, 它的原理基于以下思想:

1. 线性逼近: 假设已经有一个近似的根 x_n , 牛顿迭代法试图找到一个更好的近似根 x_{n+1} , 使得 $f(x_{n+1})$ 尽可能地接近零. 为了做到这一点, 尝试通过一个线性逼近来估计新的根.
2. 切线的概念: 牛顿迭代法使用 $f(x_n)$ 处的切线来近似函数 $f(x)$. 切线是函数 $f(x)$ 在点 $(x_n, f(x_n))$ 处的一条线, 它的斜率等于 $f'(x_n)$, 即函数在 x_n 处的导数值.
3. 迭代公式: 牛顿迭代法基于切线的概念, 将切线与 x 轴的交点作为新的近似根. 新的近似根 x_{n+1} 被计算为 $x_{n+1} = x_n - \frac{f(x_n)}{f'(x_n)}$.
4. 重复迭代过程: 这个迭代过程会不断重复, 每次都会计算一个新的近似根 x_{n+1} , 然后将其作为下一次迭代的起点, 直到找到一个满足精度要求的根或达到迭代次数的限制.

这一过程的直观解释是, 牛顿迭代法通过不断改进当前的猜测根, 使其逐渐接近真实根. 这是一种快速收敛的方法, 特别适用于那些具有单一根且导数不为零的函数. 但要注意, 初始猜测值的选择可能会影响迭代的收敛性, 有时甚至可能导致发散. 因此, 牛顿迭代法在实际应用中需要谨慎使用.

在以上原理的思想上, 我编写了如下代码, 适用于求出 $n = 3$ 时, 迭代 100 次, 精度为 10^{-6} 下的代码. 由于初始值的选取可能导致发散, 因此加入了如果在迭代 100 次仍然达不到精度 10^{-6} 时, 输出迭代未收敛到指定的精度.

1.1 原始代码

```

1  f3 = @(x) x - x^3 / factorial(3);
2  f3_prime = @(x) 1 - x^2 / factorial(2);
3
4  x0 = 3;
5  tolerance = 1e-6;
6  max_iterations = 100;
7
8  iteration = 0;
9  x_current = x0;
10
11 while abs(f3(x_current)) > tolerance && iteration < max_iterations
12     x_next = x_current - f3(x_current) / f3_prime(x_current);
13     iteration = iteration + 1;
14     x_current = x_next;
15 end
16
17 if iteration < max_iterations
18     fprintf('零点近似值为: %f\n', x_current);
19 else
20     fprintf('迭代未收敛到指定的精度。 \n');
21 end

```

该尝试有以下几个缺点，并提出了相应的解决方案：

1. 只能求出一个数字 n 在迭代下的零点. 解决方案是定义数组 n_values 后，利用循环结构.
2. 定义函数的时候使用了匿名函数，这通常比使用内联函数稍慢，在一些需要频繁调用函数的计算中可能会产生性能影响（虽然本题并不很复杂）. 解决方案是采用内联函数，创建两个 $.m$ 文件 $fn_function.m$ 和 $fn_prime_function.m$ ，来定义函数与导数，方便于在代码中直接调用.
3. 将迭代初值加入进输出中，使得回答更加完善.

更新后的代码见文件夹 1.1. 实验结果如部分 1.3 所示.

从实验结果中可以注意到，随着 n 的增大，牛顿迭代法的实验结果越来越接近 π . 这是由于

$$\sin x = \sum_{n=0}^{\infty} (-1)^n \frac{x^{2n+1}}{(2n+1)!}.$$

为 $\sin x$ 的幂级数展开式，随着 n 的增加，求和表达式 $\sum_{k=0}^n (-1)^k \frac{x^{2k+1}}{(2k+1)!}$ 越来越逼近真实值 $\sin x$. 因此随着 n 的增加，得到的零点越来越接近真实的零点 π .

1.3 实验结果

实验结果如图 1 所示.

```
n = 3 在 x = 3 的零点近似值为: 3.078643
n = 4 在 x = 3 的零点近似值为: 3.148690
n = 5 在 x = 3 的零点近似值为: 3.141148
n = 6 在 x = 3 的零点近似值为: 3.141614
n = 7 在 x = 3 的零点近似值为: 3.141592
```

图 1: 1.1 实验结果

2 $\sin \frac{1}{x}$ 图像上距离给定点最近的点

2.1 题目

判断一点 $A_k(\frac{1}{k}, \sin k)$ 距离最近的是哪一点, 要求 k 为整数. 并根据最近点绘制一系列曲线.

2.2 解答

考虑 $A_m(\frac{1}{m}, \sin m)$ 与 $A_k(\frac{1}{k}, \sin k)$ 之间的距离, 其中 k 与 m 为整数:

$$Dist(A_m, A_k) = \sqrt{(\frac{1}{m} - \frac{1}{k})^2 + (\sin m - \sin k)^2}.$$

则

$$Dist^2 = (\frac{1}{m} - \frac{1}{k})^2 + (\sin m - \sin k)^2.$$

之后我编写了在给定 k 值和 m 值范围时求距离 A_k 最近的点 A_m 的程序, 该代码的逻辑为给定范围区间对距离进行遍历, 用内置函数求最小值, 并返回对应的点, 见文件 1.2, 通过调整 m 值范围的参数, 发现具有 2.3 部分给出的实验结果。

出现该结果的原因为 m 与 k 均较大时, $\frac{1}{m}$ 与 $\frac{1}{k}$ 充分接近, $Dist^2$ 的主要影响项为 $(\sin m - \sin k)^2$, 当 m 与 k 相差 $2k\pi$ 时, 两者完全相同, 但是 π 不能被有理数表示, 因此需要对 π 做有理数逼近, 圆周率的疏率与密率恰好为 $\frac{22}{7}$ 与 $\frac{355}{113}$, 分子恰为 44 与 710 的 $\frac{1}{2}$.

对 $k, k-44, k-88$ 等点, k 取 2000 时作图, 得到的结果如图3所示, 代码见文件 1.2.

2.3 实验结果

给定 k 值位于 4000-4010, 规定 m 位于 $[k-99, k+100]$ 且不为 m , 得到结果如图2所示. 发现 $m = k+44$ 或 $m = k-44$, 与预期结果相同.

规定 m 位于 $[k-999, k+1000]$ 且不为 m , 得到结果如图3所示. 发现在较大的概率下 $m = k+710$.

对于 $k = 4001$, 最近的点是 $(0.000253, -0.939644)$, 距离最小的距离为 0.003046 , 对应的 m 为 3957
 对于 $k = 4002$, 最近的点是 $(0.000253, -0.795605)$, 距离最小的距离为 0.016320 , 对应的 m 为 3958
 对于 $k = 4003$, 最近的点是 $(0.000247, 0.079909)$, 距离最小的距离为 0.014410 , 对应的 m 为 4047
 对于 $k = 4004$, 最近的点是 $(0.000253, 0.881955)$, 距离最小的距离为 0.000554 , 对应的 m 为 3960
 对于 $k = 4005$, 最近的点是 $(0.000252, 0.873136)$, 距离最小的距离为 0.015188 , 对应的 m 为 3961
 对于 $k = 4006$, 最近的点是 $(0.000247, 0.061559)$, 距离最小的距离为 0.015717 , 对应的 m 为 4050
 对于 $k = 4007$, 最近的点是 $(0.000247, -0.806614)$, 距离最小的距离为 0.001637 , 对应的 m 为 4051
 对于 $k = 4008$, 最近的点是 $(0.000252, -0.933191)$, 距离最小的距离为 0.013753 , 对应的 m 为 3964
 对于 $k = 4009$, 最近的点是 $(0.000247, -0.201796)$, 距离最小的距离为 0.016709 , 对应的 m 为 4053
 对于 $k = 4010$, 最近的点是 $(0.000247, 0.715129)$, 距离最小的距离为 0.004108 , 对应的 m 为 4054

图 2: 1.2 中 m 位于 $[k - 99, k + 100]$ 实验结果

对于 $k = 4001$, 最近的点是 $(0.000212, -0.403652)$, 距离最小的距离为 0.000039 , 对应的 m 为 4711
 对于 $k = 4002$, 最近的点是 $(0.000212, 0.551779)$, 距离最小的距离为 0.000067 , 对应的 m 为 4712
 对于 $k = 4003$, 最近的点是 $(0.000212, 0.999906)$, 距离最小的距离为 0.000062 , 对应的 m 为 4713
 对于 $k = 4004$, 最近的点是 $(0.000240, 0.528725)$, 距离最小的距离为 0.000029 , 对应的 m 为 4161
 对于 $k = 4005$, 最近的点是 $(0.000212, -0.428564)$, 距离最小的距离为 0.000064 , 对应的 m 为 4715
 对于 $k = 4006$, 最近的点是 $(0.000212, -0.991833)$, 距离最小的距离为 0.000066 , 对应的 m 为 4716
 对于 $k = 4007$, 最近的点是 $(0.000212, -0.643215)$, 距离最小的距离为 0.000038 , 对应的 m 为 4717
 对于 $k = 4008$, 最近的点是 $(0.000212, 0.296772)$, 距离最小的距离为 0.000060 , 对应的 m 为 4718
 对于 $k = 4009$, 最近的点是 $(0.000212, 0.963908)$, 距离最小的距离为 0.000068 , 对应的 m 为 4719
 对于 $k = 4010$, 最近的点是 $(0.000212, 0.744832)$, 距离最小的距离为 0.000040 , 对应的 m 为 4720

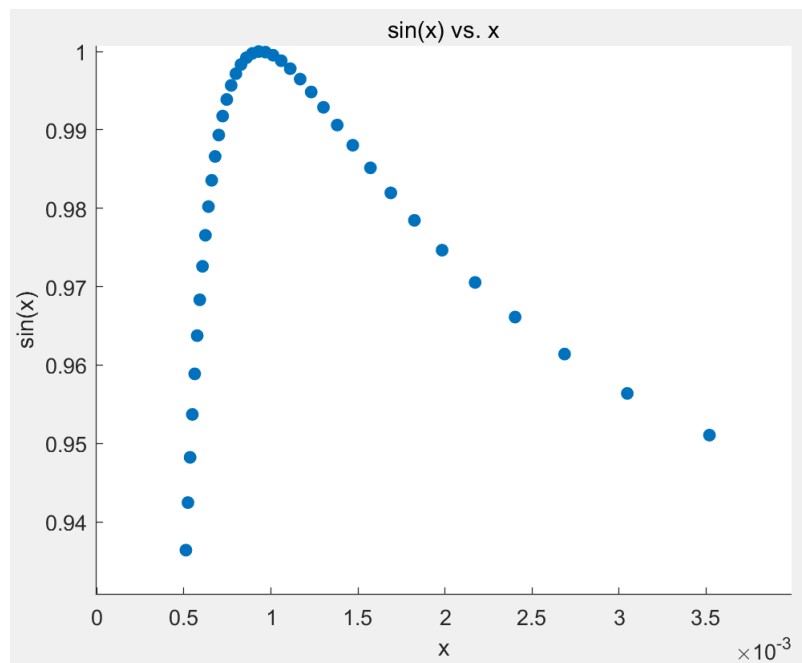
图 3: 1.2 中 m 位于 $[k - 999, k + 1000]$ 实验结果

图 4: 作图

3 积分与自然对数

3.1 题目

1. 对 $n = 10^m$, $m = 3, 4, 5, 6$, 用 *MATLAB* 中的 *sum* 语句计算“大和” Σ_n 与“小和” σ_n 以及他们的平均值, 观察他们的变化趋势, 得出 $S(2)$ 的近似值. 再用求积分语句计算 $S(2)$, 将两者的结果进行比较.
2. 画出函数 $S(x) = \int_1^x \frac{1}{t} dt$ 在区间 $[0.1, 10]$ 上的图像, 并利用牛顿切线法求解该函数的根, 观察与自然对数有何关系.

3.2 解答

大和和小和具有如下定义:

$$\Sigma_n = \sum_{k=1}^n \frac{1}{n+k-1},$$

$$\sigma_n = \sum_{k=1}^n \frac{1}{n+k}.$$

该定义来源于: 作出 $\frac{1}{x}$ 的图像, 在区间 $[x_{k-1}, x_k]$ 上, 最大高度为 $\frac{1}{x_{k-1}} = \frac{n}{n+k-1}$, 最小高度为 $\frac{1}{x_k} = \frac{n}{n+k}$, 区间长度为 $\frac{1}{n}$ 时, 最大矩形面积和为 $\sum_{k=1}^n \frac{1}{n+k-1}$, 最小矩形面积和为 $\sum_{k=1}^n \frac{1}{n+k}$. 即对应上和和下和. 利用 *Matlab* 的 *sum* 函数可以求出数组的和, *sum*((1:n)) 即表示从 1 到 n 求和, 类似地可以算出 Σ_n 与 σ_n 的结果. 为了实现对多个 m 的计算, 需要先定义 *m_values* 数组, 再利用循环结构.

算积分时需要利用函数 *integral*, 该函数的语法规则是 *integral(fun, xmin, xmax)*, *fun* 表示函数, *xmin*, *xmax* 分别表示积分上下限.

实现的代码见文件 1.3.1, 实验结果如图7所示. 可注意到随着 m 的增加大和逐渐减小, 小和逐渐增大, 平均值在保留小数点后六位数字时等于使用函数 *integral* 算出来的结果.

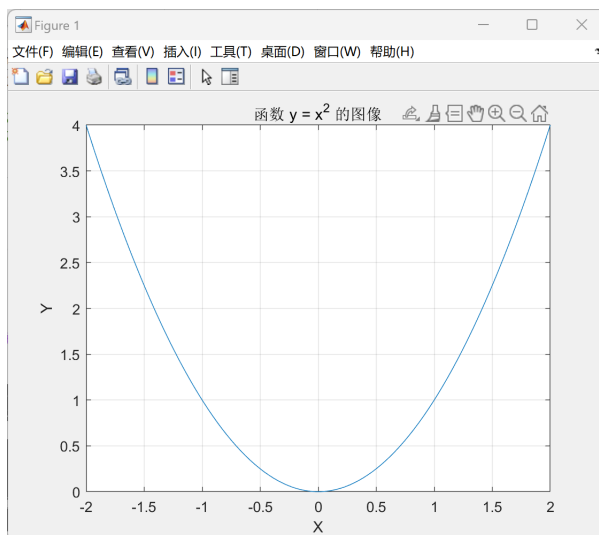
大和增大, 小和减小来源于微积分中的定理: 当分隔变细时, 达布上和单调不增, 达布下和单调不减, 且在函数可积时, 上积分 = 下积分 = 上和的下确界 = 下和的上确界.

首先尝试用 *plot* 函数直接绘制 $S(x)$ 的图像, 回忆如下代码:

x^2 函数作图

```
1 x = linspace(-2, 2, 100);
2 y = x.^2;
3
4 plot(x, y);
5 xlabel('X');
6 ylabel('Y');
7 title('函数 y=x^2 的图像');
8 grid on;
```

该程序可以得到如图5所示的结果. 但是倘若定义变上限积分函数, 给出如下所示的代码:

图 5: x^2 函数图像

尝试作图

```

1 x = linspace(0.1, 10, 1000);
2 S = @(x) integral(@(t) 1/t, 1, x);
3
4 plot(x, S);
5 xlabel('x');
6 ylabel('S(x)');
7 title('函数 S(x) = \int_1^x \frac{1}{t} dt 的图像');
8 grid on;

```

但显示结果如图6所示.

错误使用 **plot**
数据参数无效。

图 6: 尝试作图显示的结果

对于某些函数, 直接使用 *plot* 函数可以生成近似的图像, 但对于积分函数等复杂函数, 通常需要进行数值积分并创建一个离散的数据点集合, 然后使用 *plot* 函数来绘制图像. 由于 *plot* 函数是用于绘制离散的数据点, 而不是直接绘制函数的积分.

因此对代码进行修正, 加入对每一个 $S(x)$ 的计算, 代码如文件 1.3.2 所示, 实验结果如图8所示.

接下来用牛顿迭代法求解函数的根, 通过观察图8给出的图像, 给予初始值 1.5, 精度为 10^{-6} , 迭代法的原理如 1 题所示, 代码见文件 1.3.2, 实验结果如图10所示.

注意到 1 为该函数的零点, 而 $\ln 1 = 0$, 图8中的图像根据微积分基本定理应该为函数 $\ln x$. 在图同时画出两个函数的图像, 代码文件见 1.3.2. 可以看出两者的图像完全重合, 验证了微积分基本定理.

3.3 实验结果

对于 $m = 3$ ，大和为 0.693397，小和为 0.692897，平均值为 0.693147。
对于 $m = 4$ ，大和为 0.693172，小和为 0.693122，平均值为 0.693147。
对于 $m = 5$ ，大和为 0.693150，小和为 0.693145，平均值为 0.693147。
对于 $m = 6$ ，大和为 0.693147，小和为 0.693147，平均值为 0.693147。
积分结果为 0.693147

图 7: 大和、小和、平均值

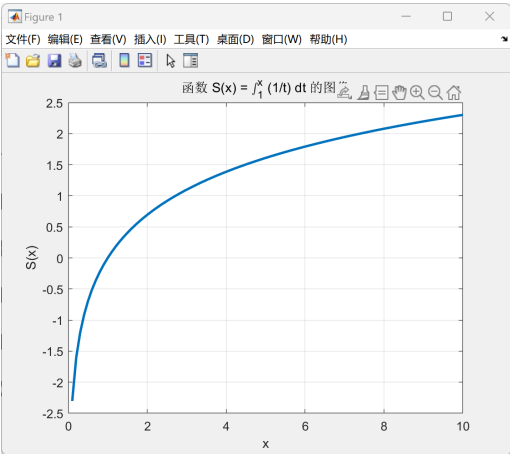


图 8: 变上限积分函数的图像

零点近似值为：1.000000

图 9: 牛顿迭代法求变上限积分函数的零点

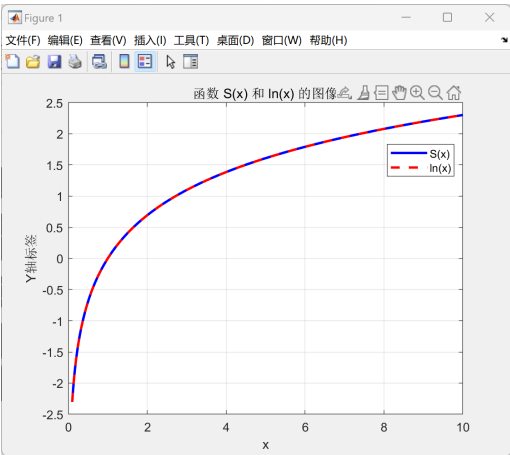


图 10: 图像的完全重合

4 圆周率相关

4.1 题目

1. 用割圆术迭代公式计算 π 的值，根据不同的迭代步数得到表格统计结果.
2. 利用外推公式进行割圆术的迭代加速求解，并统计每步迭代结果.
3. 利用 *Borwein* 二阶迭代算法计算圆周率.

4.2 解答

对于每一小问，采用如下公式进行迭代：

1. 迭代步数为 n ，有

$$\begin{aligned} C_n &= 6 \cdot 2^n. \\ a_0 &= 1. \\ a_n &= \sqrt{2 - 2\sqrt{1 - \left(\frac{a_{n-1}}{2}\right)^2}}. \\ S_n &= 3 \cdot 2^{n-1} \cdot a_{n-1}. \\ f_n &= S_n. \\ F_n &= 2S_n - S_{n-1}. \end{aligned}$$

其中 C_n 表示边数， f_n 与 F_n 分别表示下界与上界.

编写代码，给出计算结果表格，代码见文件 2.1，结果见图11.

2. 迭代步数为 n ，有

$$G_n = S_{n-1} + \frac{4}{3}(S_n - S_{n-1}).$$

G_n 表示 π 的估计值. 代码见文件 2.1，结果见图12.

3. 在前两个实验中，我发现 *MATLAB* 的索引值要求为正整数，因此在本题中修改初值，方便代码的编写，给出迭代公式：

$$\begin{aligned} y_1 &= \frac{1}{\sqrt{2}}. \\ \alpha_1 &= \frac{1}{2}. \\ y_{n+1} &= \frac{1 - \sqrt{1 - y_n^2}}{1 + \sqrt{1 - y_n^2}}. \\ \alpha_{n+1} &= (1 + y_{n+1})^2 \alpha_n - 2^{n+1} y_{n+1}. \\ G_n &= \frac{1}{\alpha_n}. \end{aligned}$$

代码见文件 2.1，结果见图13.

4.3 实验结果

```

对于n = 1, Cn = 12.000000, fn = 3.105829, Fn = 3.211657.
对于n = 2, Cn = 24.000000, fn = 3.132629, Fn = 3.159429.
对于n = 3, Cn = 48.000000, fn = 3.139350, Fn = 3.146072.
对于n = 4, Cn = 96.000000, fn = 3.141032, Fn = 3.142714.
对于n = 5, Cn = 192.000000, fn = 3.141452, Fn = 3.141873.
对于n = 6, Cn = 384.000000, fn = 3.141558, Fn = 3.141663.
对于n = 7, Cn = 768.000000, fn = 3.141584, Fn = 3.141610.
对于n = 8, Cn = 1536.000000, fn = 3.141590, Fn = 3.141597.

```

图 11: 2.1.1 实验结果

```

对于n = 1, Gn = 3.141105.
对于n = 2, Gn = 3.141562.
对于n = 3, Gn = 3.141591.
对于n = 4, Gn = 3.141593.
对于n = 5, Gn = 3.141593.
对于n = 6, Gn = 3.141593.
对于n = 7, Gn = 3.141593.

```

图 12: 2.1.2 实验结果

```

对于n = 1000, G_n = 3.141593.

```

图 13: 2.1.3 实验结果

5 蒙特卡罗方法

5.1 题目

使用蒙特卡罗方法计算由三个圆柱面 $x^2 + y^2 = 1$ 、 $x^2 + z^2 = 1$ 和 $y^2 + z^2 = 1$ 围成的立体的体积.

5.2 解答

由蒙特卡罗方法的核心思想, 生成随机点阵用满足条件点阵的量度除以点阵的总量度, 该算法由以下步骤实现:

1. 在一个包含立体的三维空间中生成大量的随机点, 确保这些点均匀分布在立体的包围盒内, 本题中选取 x, y, z 均位于 $[-1, 1]$ 之间.
2. 对于每个随机点, 检查它是否在三个圆柱面的内部. 可以通过检查点是否满足圆柱面的方程来确定.
3. 统计在立体内的随机点数量.

4. 通过以下公式得出计算立体的体积的估计值：体积估计值 = 立体包围盒的体积 * (在立体内的随机点数量 / 总随机点数量)。
5. 通过增加生成的随机点数量，来提高体积估计的精度。
6. 我又加入了可视化效果。

根据以上逻辑编写的代码如 2.2 所示，得到的模拟图如图14所示。

5.3 实验结果

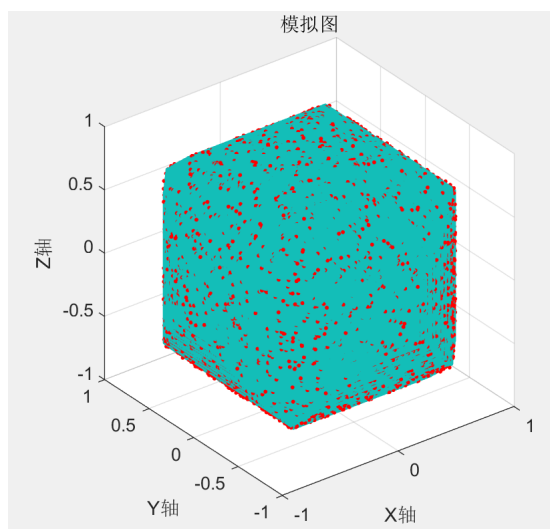


图 14: 可视化效果

该代码可以实现多次不同的模拟，且由于生成随机数，每一次模拟的结果可能存在略微差别，我模拟的三次结果分别为：4.695680、4.698400、4.681040，规定的点数为 10000。

6 $\sin n$ 的极限状态的规律

6.1 题目

研究数列 $a_n = \sin n$ 的极限状态的规律：

1. 在平面上画出点列 (n, a_n) , $n = 1, 2, \dots, N$. 如 $N=5000$ ；根据该图形，判断数列 a_n 的极限是否存在。
2. 从上述图形中观察点列的分布规律。
3. 任取区间 $[a, b] \subseteq [1, 1]$ ，画出数列中落在区间 $[a, b]$ 中的点，将区间 $[a, b]$ 放大并取不同的 N ，观察落在区间 $[a, b]$ 中的点集的变化。

6.2 解答

1. 本题第一问即用 `plot` 函数做二维图形，只需要定义数组 n ，计算数组 a_n ，作图即可。如图??所示，可以发现数列 a_n 在子列下可以收敛到不同的数字，具有多个极限点，因此数列不收敛，极限不存在。
2. 在给出的图形中，发现图形从外观看好像可以连成连续的曲线，点列的分布较为对称，形成的图案也较为美观；点列在水平轴上波动，但没有明显的趋势，反映了正弦函数的周期性质；另一方面，若选取自然数不同的子列， a_n 会收敛到多个不同的值，在数学分析中被成为极限点，而最大与最小的极限点 1 和 -1 被称作上极限与下极限，不过在这里由于 n 为整数，不可以被严格取到，但是可以足够逼近。
3. 从任何区间中选择满足条件的点再作图，只需要定义一个满足条件的数组，利用循环与判断语句将满足条件的存储在新的数组中，代码见 4.1 所示。注意到对于区间的修改，可以发现不同位置的疏密存在差异，越靠近边缘的区域貌似越密，靠近 0 的区域貌似越稀疏，如图16所示，也与最开始作出的图15显示的结果相同。若改变 N 的大小，发现图像并没有过多疏密与形状的变化，只是 N 越大，图像中包含的元素个数更多，表明了函数的周期性，如图17所示。

6.3 实验结果

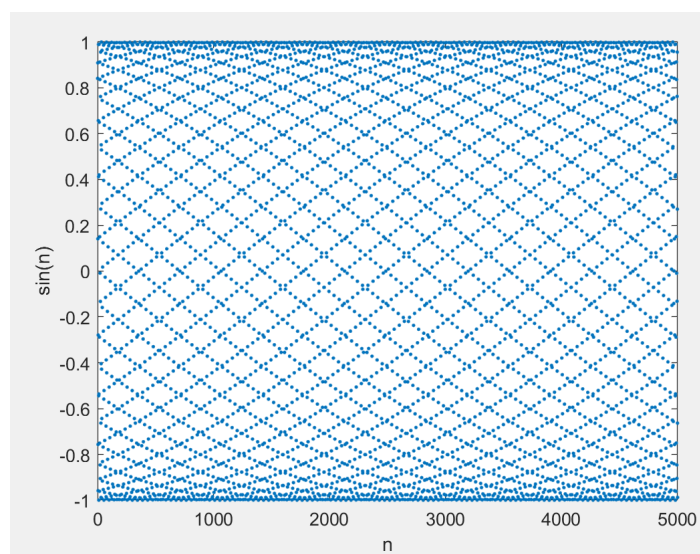


图 15: 数列 a_n 作图结果

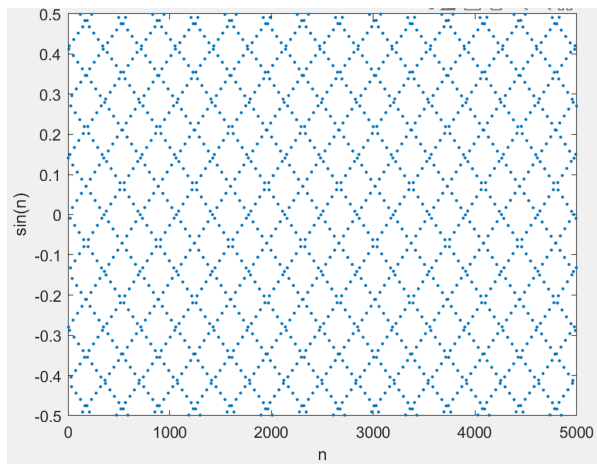
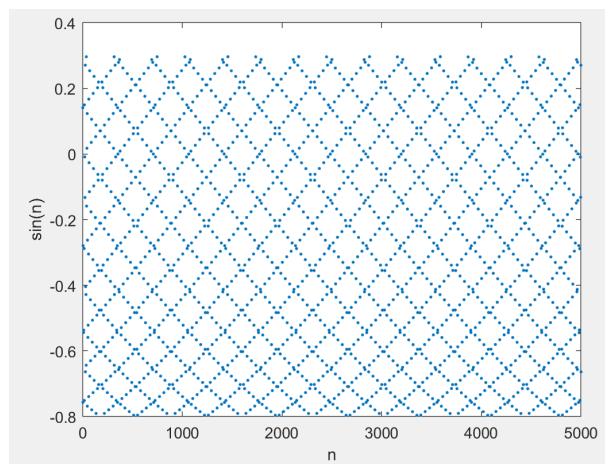
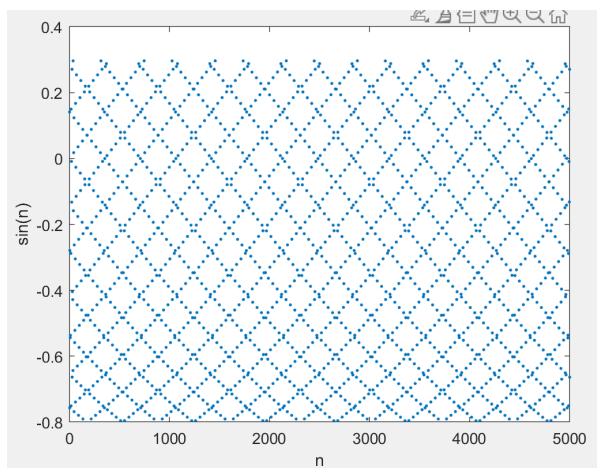
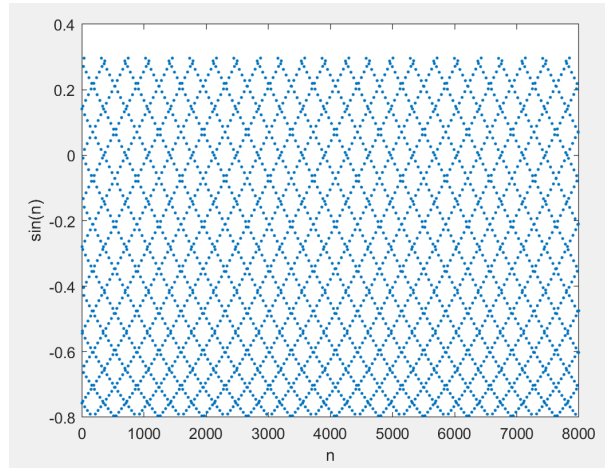
(a) $a=-0.5, b=0.5$ (b) $a=-0.8, b=0.3$

图 16: 越靠近边缘的区域貌似越密, 靠近 0 的区域貌似越稀疏

(a) $N=5000$ (b) $N=8000$ 图 17: N 变化时图像的变化